# ОПТИЧЕСКИЕ И МИКРОФИЗИЧЕСКИЕ ХАРАКТЕРИСТИКИ ПЫЛЕВОГО АЭРОЗОЛЯ НА БЛИЖНЕМ ВОСТОКЕ ВЕСНОЙ 2022 Г.

Даценко О.И., Горчаков Г.И., Карпов А.В., Гущин Р.А.

Институт физики атмосферы им. А.М. Обухова РАН, Москва, Россия

#### Поглощательная способноть пылевого аэрозоля

Процессы эмиссии и дальнего переноса пылевого аэрозоля до сих пор недостаточно изучены. Большой интерес представляет поглощательная способность пылевого аэрозоля. Согласно опубликованным данным, минеральный пылевой аэрозоль отличается сравнительно слабым поглощением в видимой области спектра, которое обусловлено присутствием оксидов железа в частицах пылевого аэрозоля. В настоящее время установлено, что оксиды железа присутствуют в частицах аэрозоля в виде минералов гематита и гётита, причём обусловленное гематитом поглощение наблюдается в коротковолновой части видимой области спектра которое обнаруживается по данным мониторинга на станциях AERONET на длине волны 440 нм.

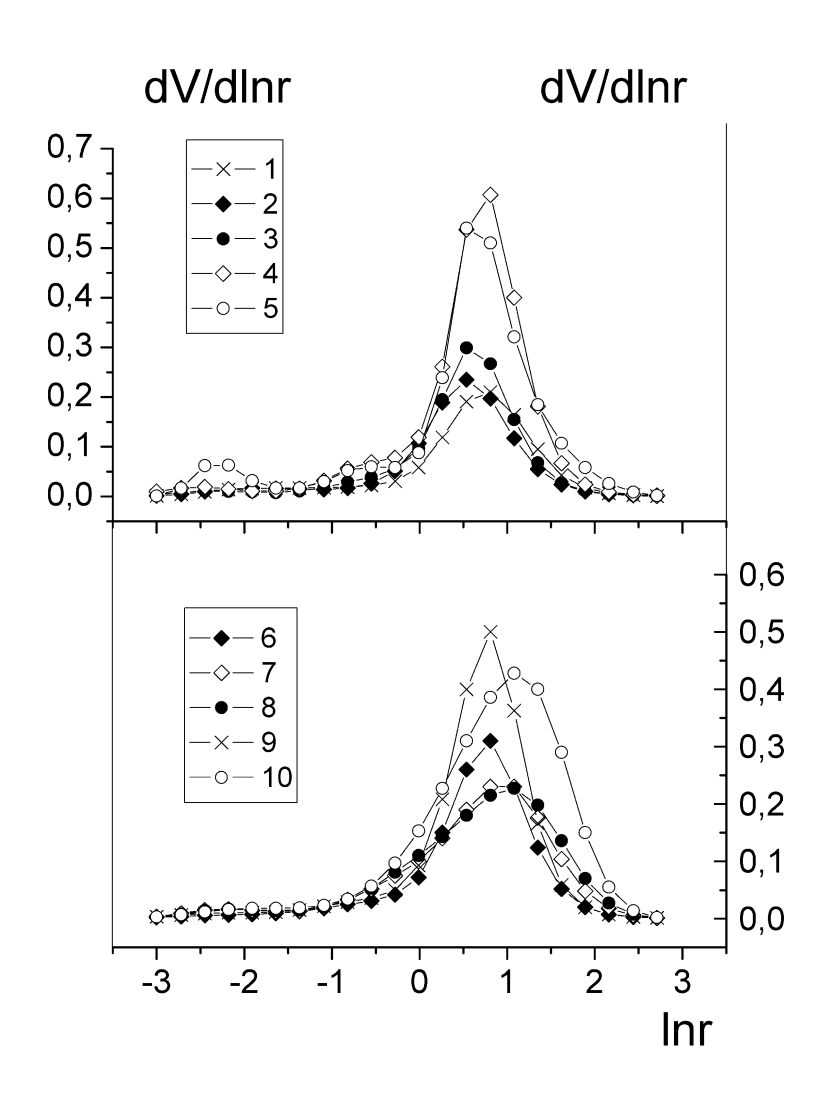
### Оптические и микрофизические характеристики пылевого аэрозоля

Обсуждаются характерные особенности функции распределения частиц по размерам пыльной мглы на Ближнем Востоке, а также спектральных зависимостей мнимой части коэффициента преломления и аэрозольной оптической толщины в пыльной мгле на Ближнем Востоке.

#### Микроструктура пылевого аэрозоля

Проанализированы результаты мониторинга распределения объёмов частиц по размерам  $dV(r)/d\ln r$ , где r - радиус частицы и V(r) - накопленный объём на станциях AERONET на Ближнем Востоке. В распредлении частиц пылевого аэрозоля по размерами доминирует грубодисперсная фракция.

#### Примеры распредлений частиц по размерам (рис. 1)



No	Стан	Да-	Вре-	$ au_{ex}$	$\beta_{ex}$	$ au_f$	103 *	103 *	n <sub>440</sub>	$\omega_{440}$	$\omega_{675}$	$r_m$ ,	$v_m$
	ция	та	мя				к 440	κ <sub>675</sub>				мкм	
1	KCP	01.04	14:14	0.54	0.4	0.25	0.5	0.5	1.52	0.99	0.99	2.24	0.21
2	DRC	10.04	12:05	0.63	0.36	0.27	1.5	0.6	1.60	0.97	0.99	1.71	0.24
3	IME	06.04	06:45	0.58	0.14	0.185	4.3	0.6	1.51	0.91	0.99	1.71	0.30
4	MGL	06.04	06:01	1.04	0.15	0.28	3.4	0.5	1.49	0.91	0.99	2.24	0.61
5	MZR	17.04	13:46	1.09	0.32	0.42	4.5	1.7	1.46	0.91	0.96	1.71	0.54
6	ISS	12.04	03:36	0.57	0.15	0.18	3.7	25.6	1.55	0.91	0.74	2.24	0.31
7	ISS	19.04	05:15	0.68	0.21	0.25	4.3	40.6	1.51	0.93	0.76	2.58	0.23
8	ISS	19.04	05:46	0.69	0.13	0.25	4.7	41.7	1.51	0.90	0.69	2.94	0.23
9	ISS	23.05	02:57	0.79	0.06	0.24	2.6	14.6	1.60	0.93	0.79	2.24	0.50
10	ISS	23.05	05:44	0.92	0.06	0.31	3.2	27.0	1.56	0.91	0.70	2.94	0.43

В таблице представлены результаты измерений характеристик аэрозоля соответсвующие приведеным на рис. 1 примерам распределения частиц по размерам. Эти данные характеризуют изменчивость аэрозольной оптической толщины ослабления и поглощательную способность пылевого аэрозоля (мнимая часть коэффицента преломления и альбедо однократного рассеяния).

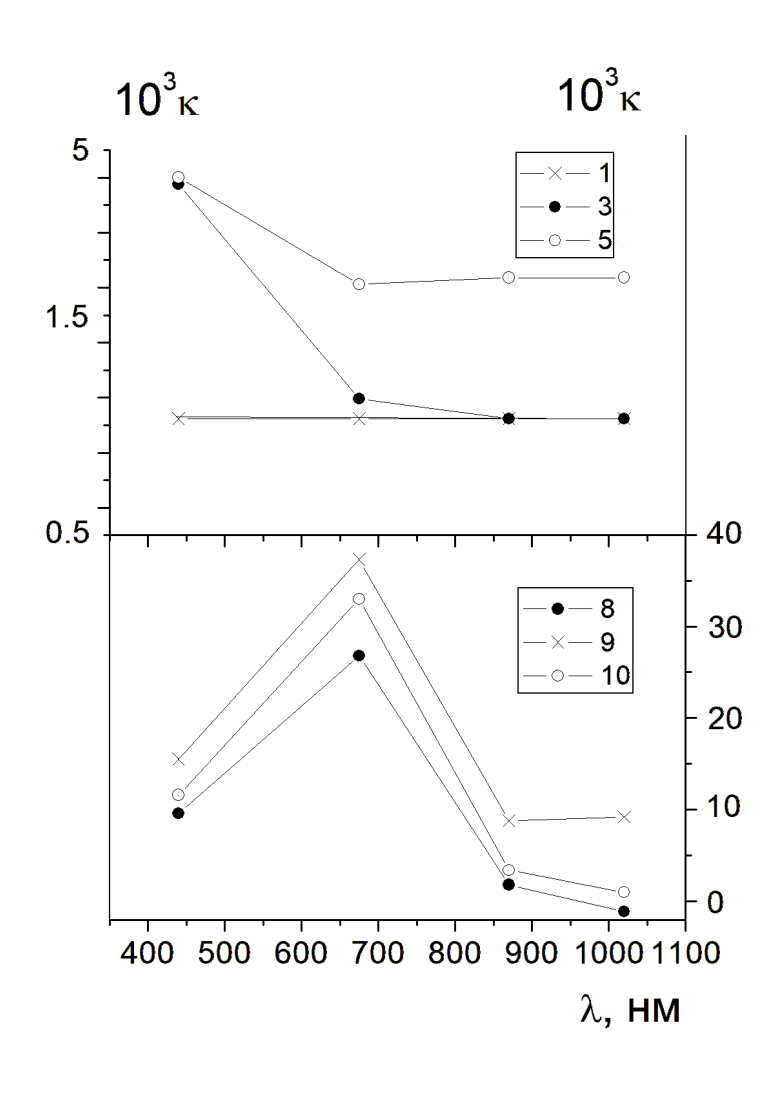
Показатель Ангстрема меняется в пределах от 0.06 до 0.40, а  $\tau_{ex}$  на длине волны 440 нм от 0.54 до 0.90. В данной работе использовались только результаты мониторинга для  $\tau_{440} > 0.4$ , что обусловлено требованием минимизации погрешности восстановления оптических и микрофизических характеристик аэрозоля. Максимальные значения (уровень L1.5)  $\tau_{ex}$  на некоторых станциях AERONET весной на Ближнем Востоке достигали 1.6-1.7.

Представляет интерес вклад тонкодисперсный фракции аэрозоля в наблюдаемые оптические и микрофизические характеристики пыльной мглы. Оптическая толщина для тонкодисперсной фракции  $t_f$  на длине волны 440 нм согласно приведённым данным в таблице варьировала в пределах от 0.18 да 0.42, что составляет от 27 до 46% от полной оптической толщины.

### Аномальное поглощение пылевого аэрозоля

В видимой области спектра по данным AERONET наблюдается селективное поглощение гематитом на длине волны 440 нм и аномальное селективное поглощение (кривые 8,9 и 10) гётитом на длине волны 675 нм на спектральных зависимостях мнимой части коэффициента преломления и альбедо однократного рассеяния.

### Мнимая часть коэффициента преломления



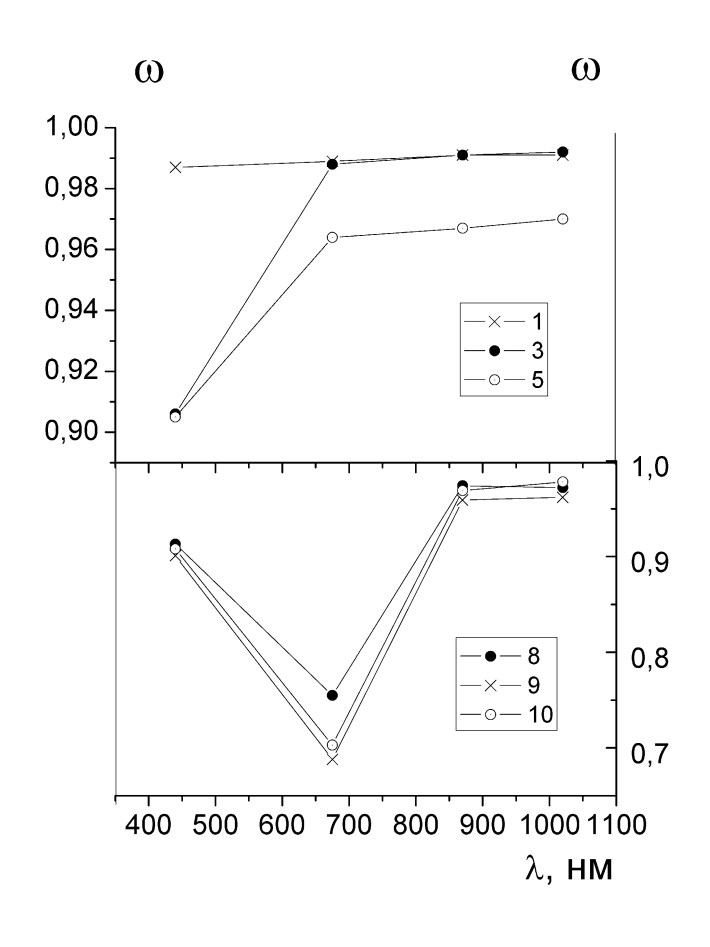
### Мнимая часть коэффициента преломления

По данным мониторинга на станции AERONET IASBS (ISS) обнаружено аномальное селективное поглощение пылевого аэрозоля на длине волны 675 нм.

### Альбедо однократного рассеяния

При аномальном селективном поглощении альбедо однократного рассеяния уменьшается до 0.70.

### Альбедо однократного рассеяния



#### Заключение

- 1. Выполнен анализ вариаций оптических и микрофизических характеристик аэрозоля в пыльной мгле на Ближнем Востоке с использованием данных AERONET.
- 2. Оценено влияние содержащих оксиды железа минералов на поглощательную способность пылевого аэрозоля.
- 3. Показано, что в распределении частиц пылевого аэрозоля по размерам доминирует грубодисперсная фракция. Проанализирована поглощательная способность пылевого аэрозоля.

- 4. Во время пыльной мглы на всех станциях AERONET наблюдалось поглощение солнечной радиации гематитом (на длине волны 440 нм).
- 5. Мнимая часть коэффициента преломления достигала 0.006. В отдельных случаях поглощение радиации в пределах точности определения отсутствовало.
- 6. На станции AERONET IASBS (ISS) обнаружена по данным мониторинга на длине волны 675 нм сравнительно сильное поглощение солнечной радиации гётитом (мнимая часть коэффициента преломления достигала примерно 0.04).

- 7. При этом альбедо однократного рассеяния снижалась примерно до 0.7 на длине волны 675 нм.
- 8. Сильные проявления поглощения солнечной радиации гётитом наблюдались и на спектральных зависимостях аэрозольной оптической толщины поглощения.
- 9. Спектральные зависимости аэрозольной оптической толщины коэффициента ослабления (экстинкции) в пыльной мгле на Ближнем Востоке аппроксимировались степенными функциями.

Спасибо за внимание!